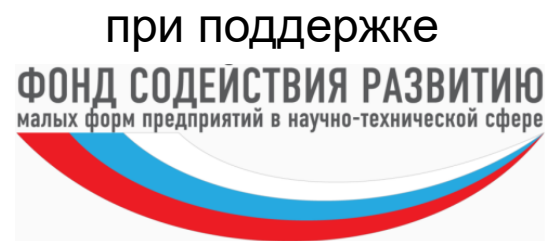


4 Российская конференция
по молниезащите
СПб 28 мая 2014 г



Математические модели и методы в задачах заземления и ЭМС

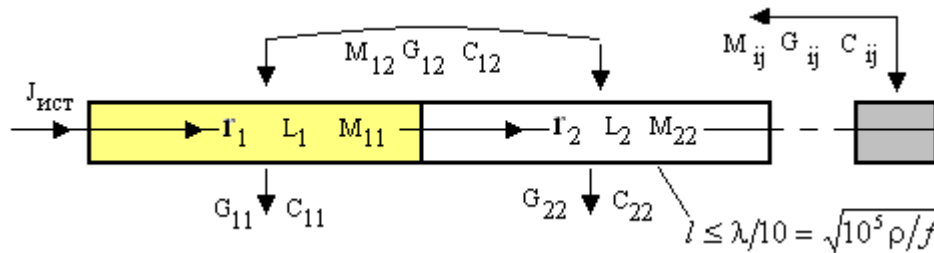
Шишигин С.Л. д.т.н., зав. кафедрой электротехники

Мещеряков В.Е, Шишигин Д.С. аспиранты

Вологодский государственный университет

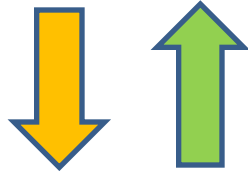
ЦЕПНО-ПОЛЕВАЯ МОДЕЛЬ ЗАЗЕМЛЯЮЩЕГО УСТРОЙСТВА

Расчет ЗУ - нахождение \mathbf{z} , \mathbf{U} , \mathbf{I} , \mathbf{J} (цепная задача); $\boldsymbol{\varphi}$, \mathbf{E} , \mathbf{H} (полевая задача)

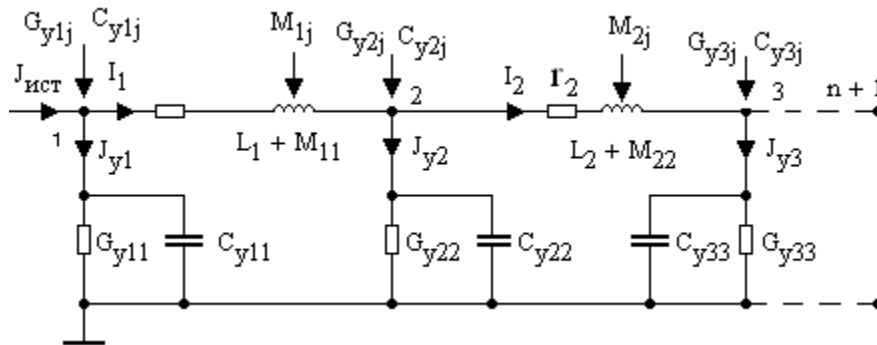


\mathbf{G} , \mathbf{C} , \mathbf{M} , \mathbf{r} , \mathbf{L}

$$\mathbf{G}_y = \mathbf{B} \cdot \mathbf{G} \cdot \mathbf{B}^T, \mathbf{C}_y = \mathbf{B} \cdot \mathbf{C} \cdot \mathbf{B}^T$$



\mathbf{I} , \mathbf{J}



МЕТОДИКА

1. Дробление на элементы
2. Расчет интегральных параметров: проводимости растекания \mathbf{G} , индуктивности \mathbf{M} , емкости \mathbf{C} , внутреннего сопротивления \mathbf{r} и индуктивности стержней \mathbf{L}
3. Перенос матриц \mathbf{G}, \mathbf{C} в узлы схемы замещения $\mathbf{G}_y = \mathbf{B} \cdot \mathbf{G} \cdot \mathbf{B}^T$, $\mathbf{C}_y = \mathbf{B} \cdot \mathbf{C} \cdot \mathbf{B}^T$, где $b_{ij} = 0.5|a_{ij}|$, \mathbf{A} – матрица соединений продольных ветвей
4. Расчет продольных токов \mathbf{I} , стекающих токов \mathbf{J} токов, напряжений ветвей и входного сопротивления
5. Расчет потенциала $\boldsymbol{\varphi}$, напряженности \mathbf{E} , \mathbf{H}

Вывод: Простая и адекватная математическая модель

ДВУХСЛОЙНАЯ 1D-МОДЕЛЬ ЗЕМЛИ

Метод зеркальных отображений стержня от двух плоских границ

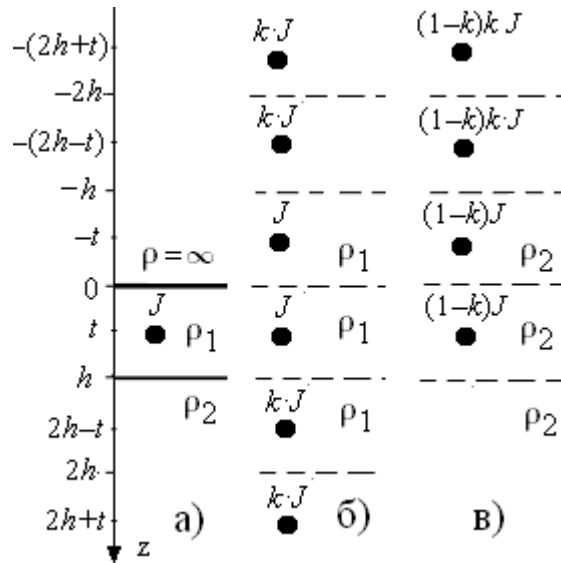


Рис.1. Источник в верхнем слое (а), расчетная точка в верхнем (б) и нижнем (в) слое земли

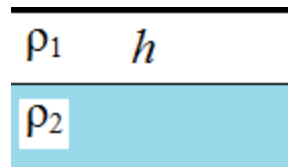
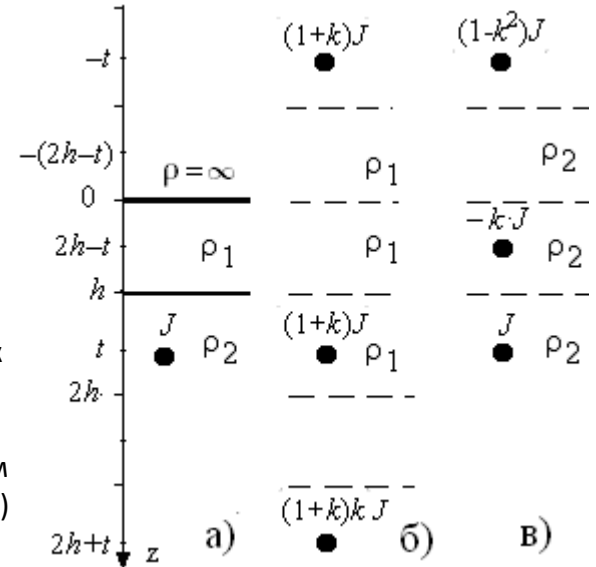


Рис.2. Источник в нижнем слое (а), расчетная точка в верхнем (б) и нижнем (в) слое земли



$$R_{ij} = \begin{cases} R'(p, q, l) + \sum_{n=1}^{\infty} k^n (R'(p, q + 2nh, l) + R'(p, q' + 2nh, l')), \text{ Рис.1б} \\ (1-k) \sum_{n=0}^{\infty} k^n (R(p, q - 2nh, l) + R(p, q' - 2nh, l')), \text{ Рис.1в} \\ (1+k) \sum_{n=0}^{\infty} k^n \cdot R'(p, q + 2nh, l), \text{ Рис.2б} \\ R(p, q, l) - k \cdot R(p, q' + 2h, l') + (1-k^2) \sum_{n=0}^{\infty} k^n \cdot R(p, q' - 2nh, l'), \text{ Рис.2в} \end{cases}$$

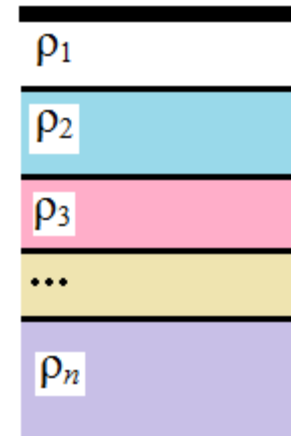
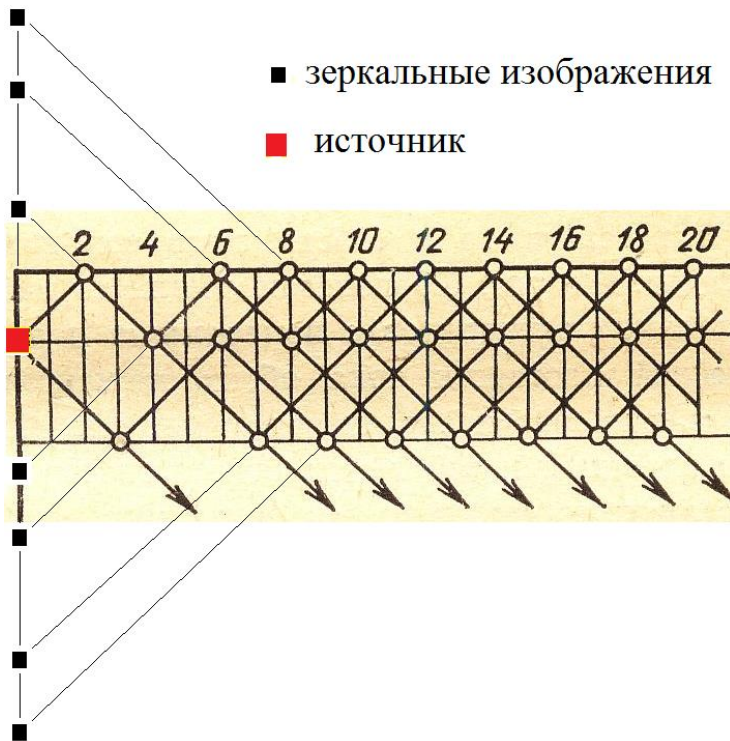
- Векторная форма записи
- Ускорение сходимости бесконечных рядов методом выделения на основе мажоранты рядов

$$S = \sum_{n=1}^{\infty} k^n / n = -\ln(1-k), \quad |k| < 1$$

Вывод: Эффективная расчетная модель, но только 2 слоя

МНОГОСЛОЙНАЯ 1D-МОДЕЛЬ ЗЕМЛИ

Метод оптической аналогии. Модель разработана В.В. Бургсдорфом, улучшена С.В. Нестеровым.



- Рекуррентные формулы для зеркальных изображений
- Огромное число отражений при резком различии удельных сопротивлений слоев
- Отсутствие средств ускорения сходимости

Вывод: Трудоемкая модель. Задача повышения ее производительности ждет решения

3D-МОДЕЛЬ ЗЕМЛИ

ИДЕЯ 1. Метод интегральных уравнений.

Влияние границ раздела сред выражается в виде матрицы вносимого сопротивления заземлителя ΔR , определяемой

$$\frac{J(P)}{2} - k \int_s J(Q) \frac{dG(P, Q)}{dn} dS_Q = 0 \Rightarrow \sum_{i=1}^M \frac{dR_{pi}}{dn} I_i + \sum_{j=M+1}^{M+N} \frac{dR_{pj}}{dn} I_j - \frac{I_p}{2kS_p} = 0 \Rightarrow \mathbf{D}_{12} \mathbf{I}_1 + \mathbf{D}_{22} \mathbf{I}_2 = 0$$

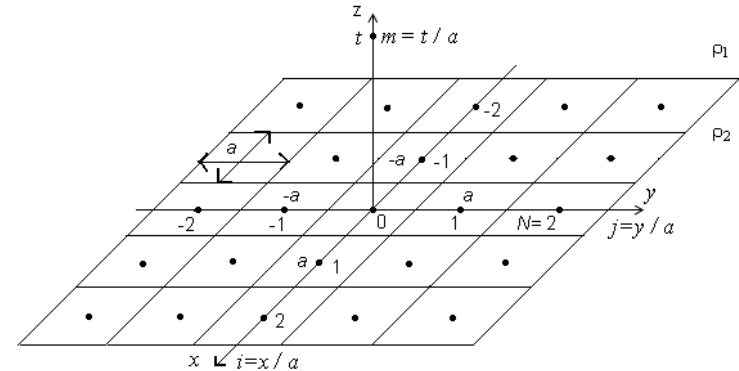
$$\Rightarrow \mathbf{I}_2 = -\mathbf{D}_{22}^{-1} \mathbf{D}_{12} \mathbf{I}_1 \Rightarrow \varphi_1 = \mathbf{R}_{11} \mathbf{I}_1 + \mathbf{R}_{12} \mathbf{I}_2 = (\mathbf{R}_{11} - \mathbf{R}_{12} \mathbf{D}_{22}^{-1} \mathbf{D}_{12}) \mathbf{I}_1 = (\mathbf{R}_{11} + \Delta \mathbf{R}) \mathbf{I}_1 \Rightarrow$$

$$\Delta \mathbf{R} = -\mathbf{R}_{12} \mathbf{D}_{22}^{-1} \mathbf{D}_{12}$$

Алгоритм исследован аналитически: быстрое затухание влияния соседних ячеек ($1/r^4$)

$$\Delta R = \sum_{i=-N}^N \sum_{j=-N}^N \frac{R_{12}(i, j) D_{21}(i, j)}{D_{22}(i, j)} = \frac{\rho_1 k}{4\pi a} \frac{m}{2\pi} \sum_{i=-N}^N \sum_{j=-N}^N \frac{1}{(i^2 + j^2 + m^2)^2}$$

$$R_{12}(i, j) = \frac{\rho_1}{4\pi a} \frac{1}{\sqrt{i^2 + j^2 + m^2}}, \quad D_{21}(i, j) = \frac{1}{4\pi a^2} \frac{m}{(i^2 + j^2 + m^2)^{3/2}}, \quad D_{22}(i, j) = -1/2ka^2$$



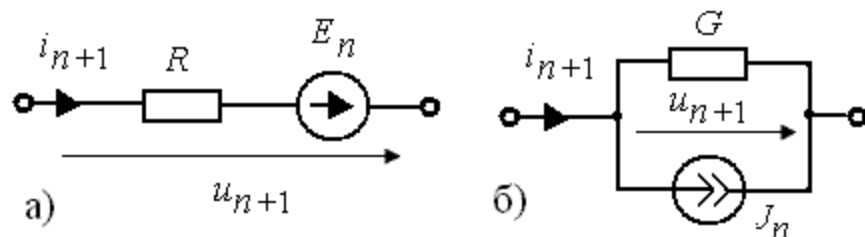
ИДЕЯ 2. Метод интегральных уравнений совместно с методом зеркальных изображений. Вторичные токи на криволинейных границах отображаются от прямолинейных, что обеспечивает эффективность расчета.

Вывод: Перспективная модель

МЕТОДЫ РАСЧЕТА ЗУ ПРИ ИМПУЛЬСНЫХ ВОЗДЕЙСТВИЯХ

1. Частотный метод. Трудоемкий, неточный. Применение нецелесообразно.
2. МЕТОД ДИСКРЕТНЫХ СХЕМ. Шаговые алгоритмы

Схемы индуктивности (а) и емкости (б) на n - шаге



Формула
Эйлера:

$$R=L/h, G=C/h, E_n=Ri_n, J_n=Gu_n$$

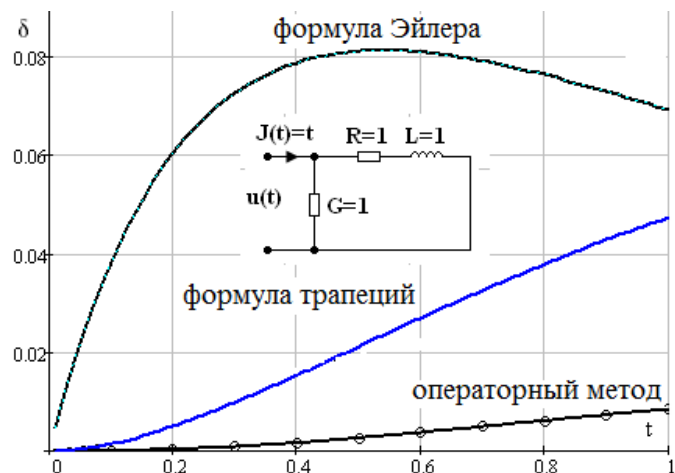
Формула
трапеций

$$R=2L/h, G=2C/h, E_n=Ri_n+u_n, J_n=Gu_n+i_n$$

Операторный
метод

$$R=sL, G=sC, E_n=Li_n, J_n=Cu_n$$

Тестовая задача. Найти входное напряжение при входном токе $J(t)=t$



$$s = (2 + \sqrt{2}j) / h, f(t) = \text{Re}((5\sqrt{2}j - 2) \cdot F(s)) / h$$

$$u_E(h) = h \cdot \frac{1 + 1/h}{2 + 1/h} = 0,25 \left(1 + 2h - \frac{1}{1 + 2h} \right) = h + \dots$$

$$u_T(h) = h \cdot \frac{1 + 2/h}{2 + 2/h} = 0,5 \left(1 + h - \frac{1}{1 + h} \right) = h - \frac{h^2}{2} + \dots$$

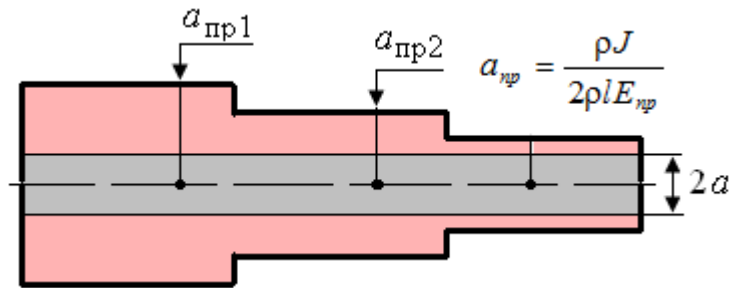
$$u_3(h) = \frac{1}{h} \text{Re} \left[(5\sqrt{2}j - 2) \cdot \frac{(2 + \sqrt{2}j)/h + 1}{(2 + \sqrt{2}j)^2 / h^2 \cdot ((2 + \sqrt{2}j)/h + 2)} \right] = 0,25 \left(1 + 2h - \frac{2h - 3}{3 + 4h + 2h^2} \right) = h - \frac{h^2}{2} + \frac{h^3}{3} + \dots$$

Вывод: Метод дискретных схем с шаговыми алгоритмами 1,3 порядка – эффективный метод расчета переходных процессов

МОДЕЛИ НЕЛИНЕЙНЫХ ЭЛЕМЕНТОВ В ШАГОВЫХ АЛГОРИТМАХ

МЕТОДИКА. Параметры НЭ определяются в начале шага и принимаются постоянными в течение шага

1. Нелинейность G. Искрообразование в земле по модели Е.Я. Рябковой: изменение радиуса стержня



2. Нелинейность R:

ВАХ ОПН по справочным данным

$$U(I) = A \cdot I^\alpha$$

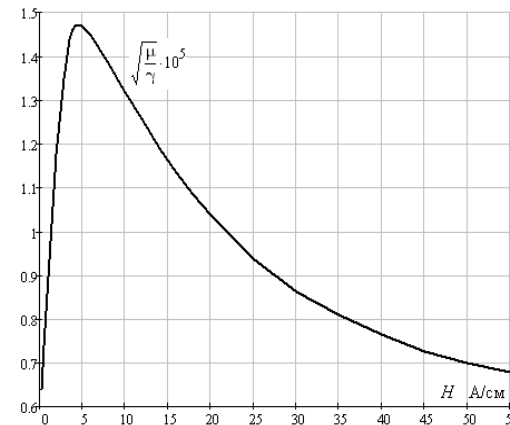
ВСХ изоляции по РД 153-34.3-35.125-99

$$U(t) = 340 \cdot l \left(1 + \frac{15}{t + 9.5} \right)$$

3. Нелинейность C. Емкость короны на проводах ВЛ по данным кафедры ЭиТВН СПбГПУ

$$\Delta C(U) / C = 0.625(U / U_n - 1)^{2/3}$$

4. Нелинейность $\mu(H)$. Универсальная характеристика Л.Р. Неймана

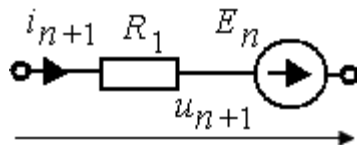


Вывод: Нелинейные элементы легко учесть в шаговых алгоритмах

ДИСКРЕТНАЯ МОДЕЛЬ ЧАСТОТНОГО СОПРОТИВЛЕНИЯ

ПРОБЛЕМА. Внутреннее сопротивление стержней $Z(j\omega)$, параметры земли $\rho(\omega)$, $\varepsilon(\omega)$ зависят от частоты. Расчеты импульсных процессов на эквивалентной частоте не точны.

РЕШЕНИЕ: Сопротивлению $Z(j\omega)$ соответствует дискретная модель на n -шаге



Доказательство

Переходное сопротивление $z(t)$

$$Z(j\omega) \rightarrow Z(s) \rightarrow z(t) = \mathcal{L}^{-1}[Z(s)/s]$$

Подставляя $z(t)$ в интеграл Дюамеля:

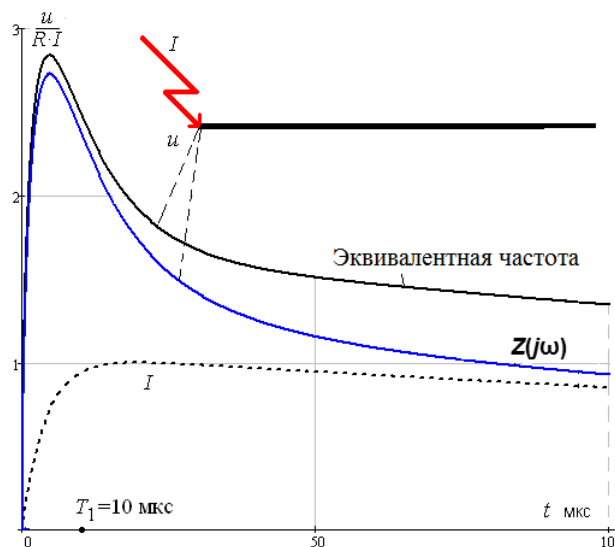
$$u(t) = z(t)i(0) + \int_0^t z(t-x) \cdot i'(x) dx, \quad i(0) = 0$$

$$u_{n+1} = \sum_{m=1}^n \frac{i_{m+1} - i_m}{h} \int_{t_m}^{t_{m+1}} z(t_{n+1} - x) dx = \sum_{m=1}^n (i_{m+1} - i_m) R_{n-m+1}$$

$$R_k = \frac{1}{h} \int_{(k-1)h}^{kh} z(y) dy, \quad k = 1..N$$

$$u_{n+1} = R_1 \cdot i_{n+1} - \sum_{m=2}^n (R_{n-m+1} - R_{n-m+2}) i_m = R_1 \cdot i_{n+1} - E_n$$

Пример. Учет поверхностного эффекта стального стержня



$$Z(s) = \frac{l \cdot \sqrt{s\mu/\gamma}}{2\pi a}$$

$$R_1 = \frac{l}{a} \frac{\sqrt{\mu/\gamma}}{\pi\sqrt{\pi h}}$$

$$R_n = \frac{l}{a} \frac{\sqrt{\mu/\gamma}}{\pi\sqrt{\pi h}} (\sqrt{n} - \sqrt{n-1})$$

$$E_n = \sum_{m=2}^n (R_{n-m+1} - R_{n-m+2}) i_m$$

Вывод: Дискретная модель – эффективный способ учета сопротивлений $Z(j\omega)$ в шаговых алгоритмах

СЕТОЧНЫЕ МОДЕЛИ ЭЛЕКТРОМАГНИТНЫХ ЭКРАНОВ

Проблема. Сеточная модель не учитывает затухание волны в сплошном экране

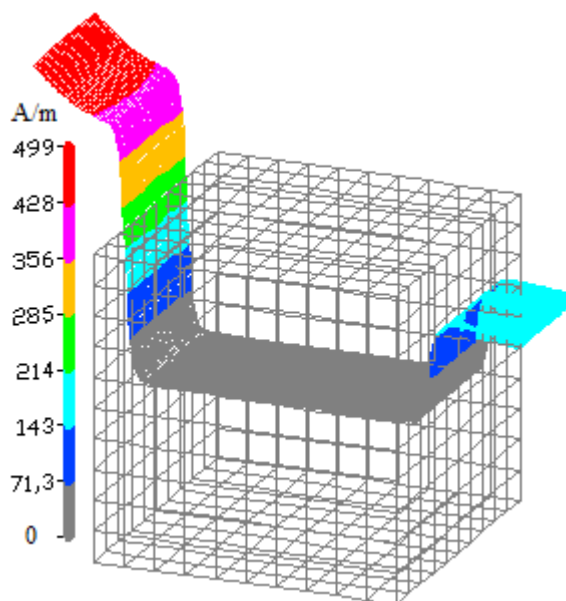
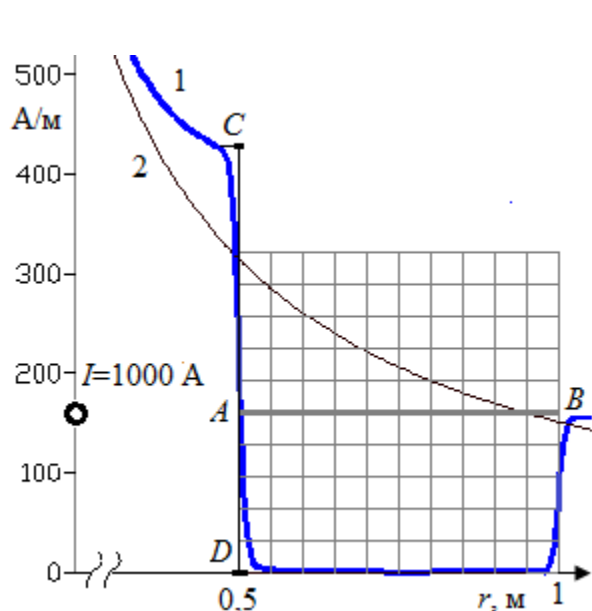
Допущение. Стальной экран идеальный (проникновение ЭМП только через отверстия), емкостью пренебрегаем.

Магнитостатическая задача с г.у. $H_2=0$.

Метод интегральных уравнений с дискретизацией стержнями.

Формулы, аналогичные с 3D-моделью земли

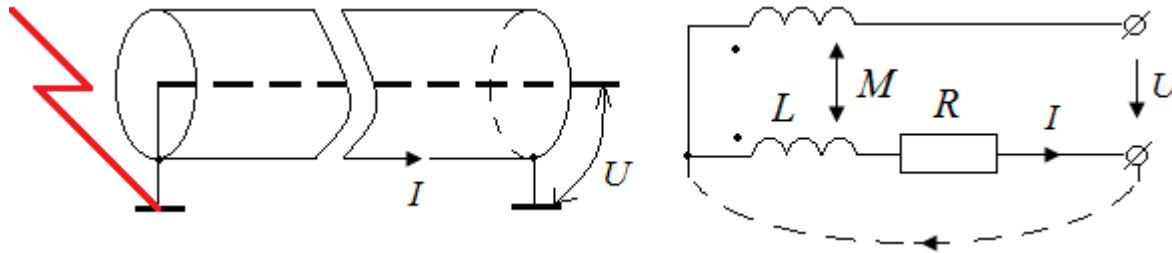
Пример. Кубический экран



Вывод: Сеточные модели электромагнитных экранов позволяет проводить их расчеты совместно с 3У

МОДЕЛИ ДЛЯ РАСЧЕТА КОНДУКТИВНЫХ ПОМЕХ

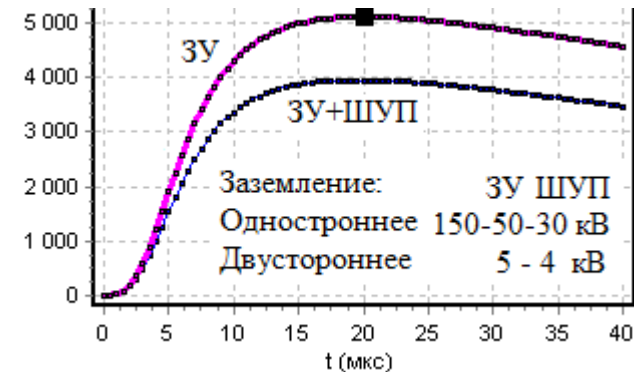
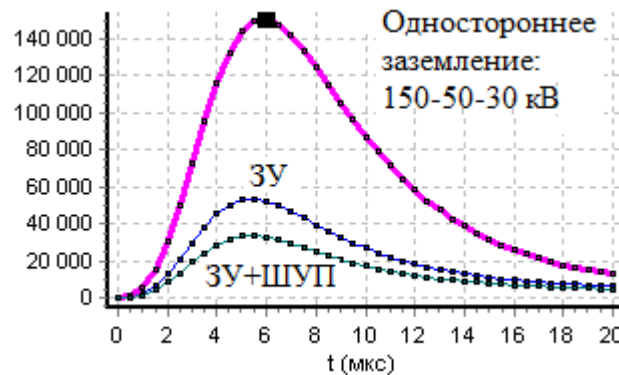
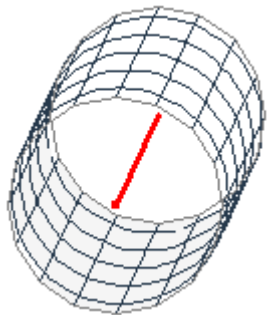
1. Коэффициенты экранирования: $k=\text{const}$ – неточны, трудно обобщить
2. Передаточное сопротивление Z_T



Напряжение помехи
 $U = RI + j\omega(L - M)I = Z_T \cdot I$
 идеальный экран $L = M$
 $U = RI$

Для снижения помехи следует уменьшить ток экрана (ШУП, ЗУ, прокладка)

3. Сеточная модель экрана контрольного кабеля



Вывод: Идеальный экран с передаточным сопротивлением R – простая и адекватная модель кабеля с двусторонним заземлением. Сеточная модель экрана универсальна.

ЗАКЛЮЧЕНИЕ. Рассмотрен комплекс моделей и методов, позволяющих проводить расчеты заземляющих устройств в задачах молниезащиты и ЭМС

Спасибо за внимание